

THE

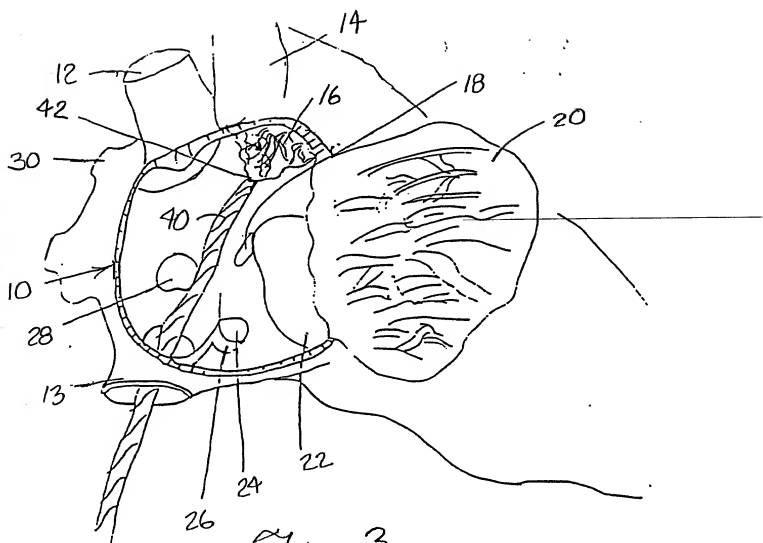
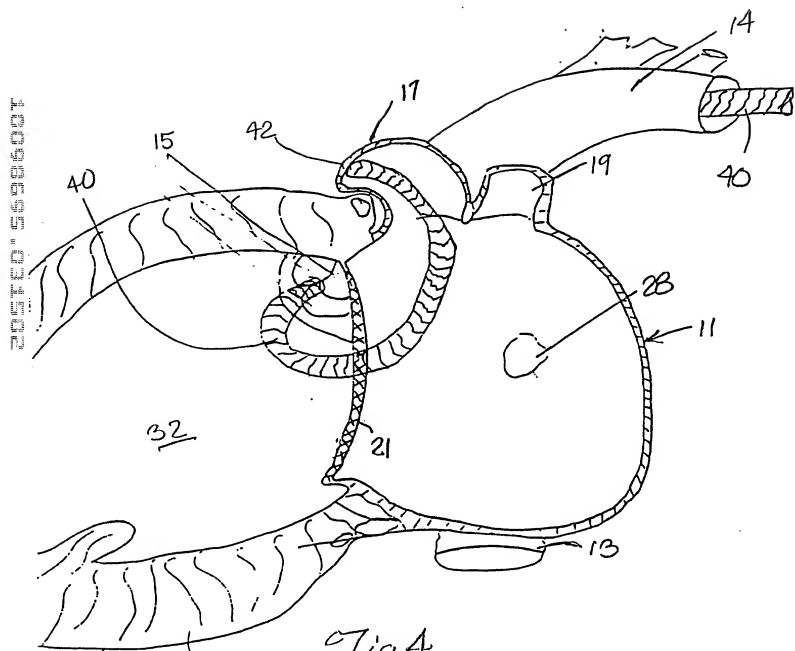
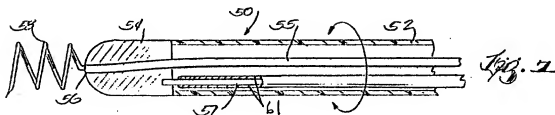
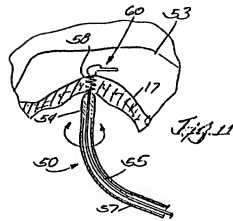
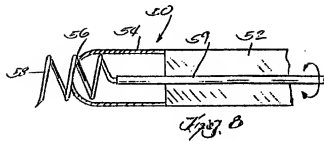
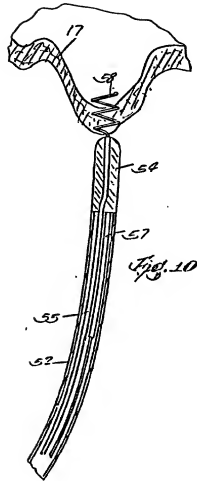
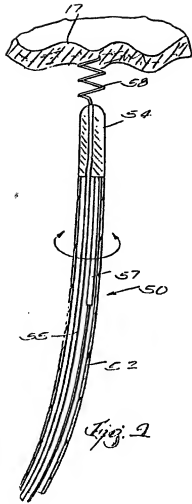


Fig. 3





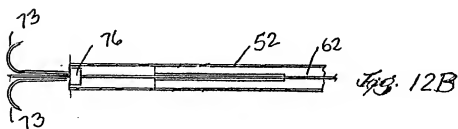
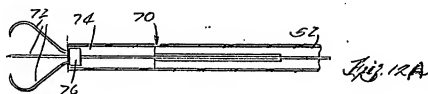
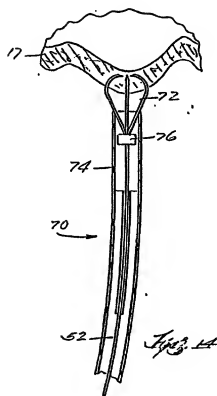
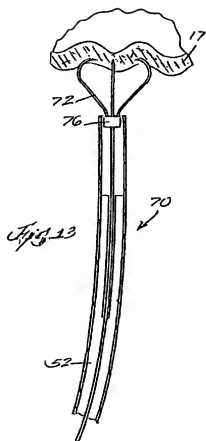


Fig. 16A

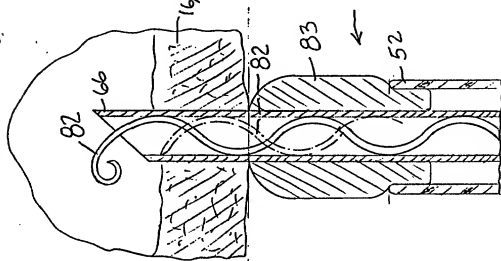


Fig. 16B

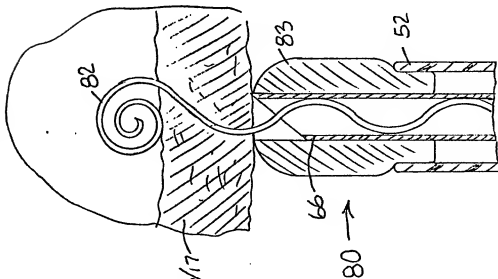
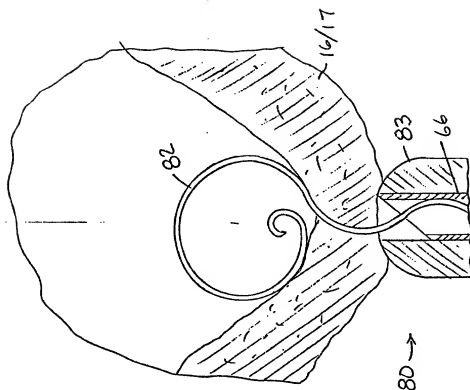


Fig. 17



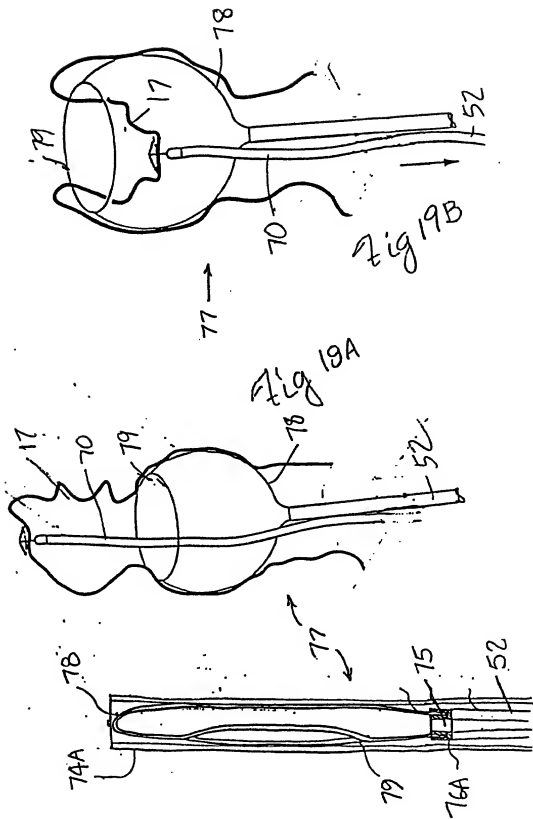


Fig. 18

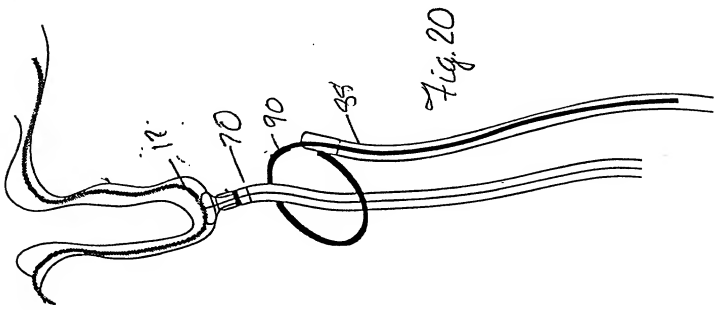


Fig. 20

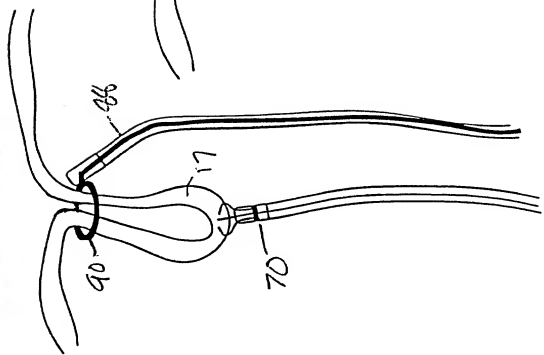


Fig. 21

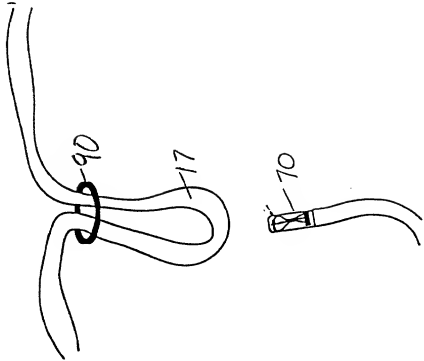


Fig. 22A

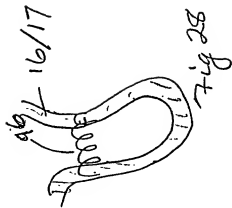
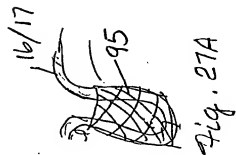
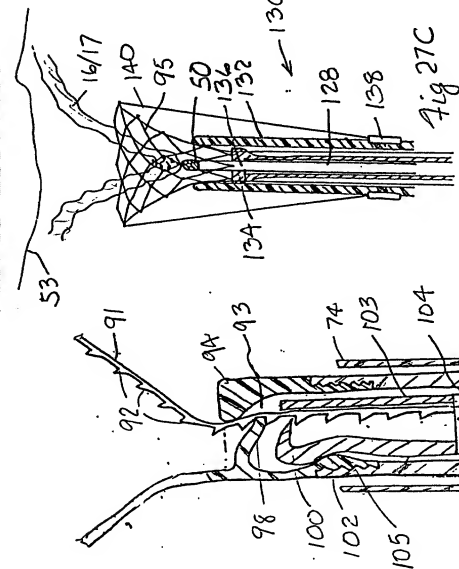
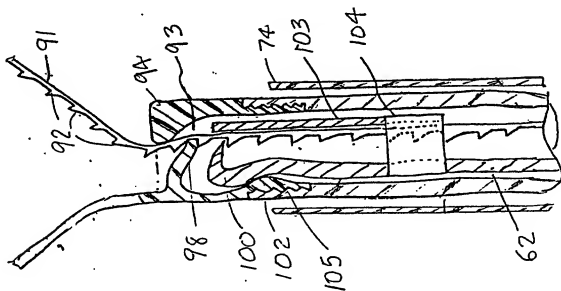


Fig 22B



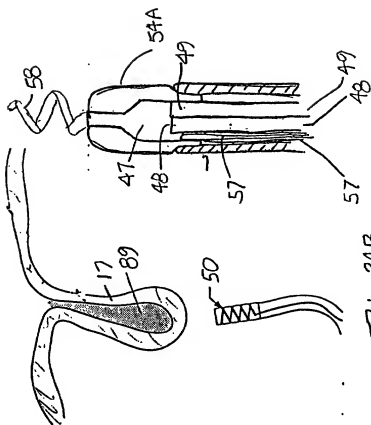
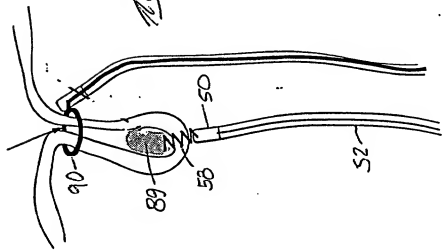
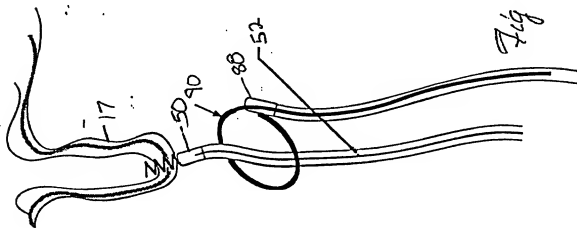
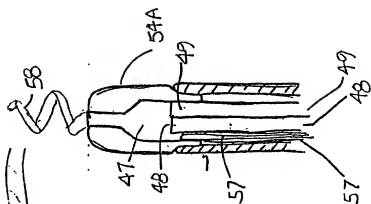


Fig. 25



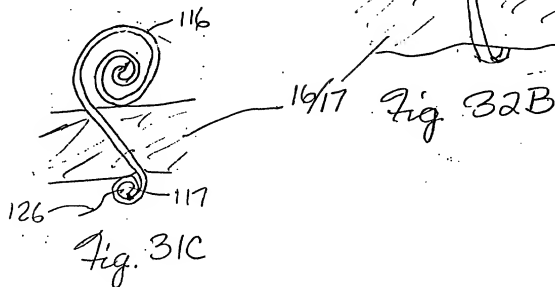
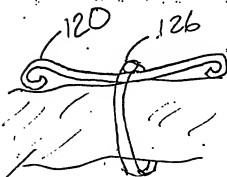
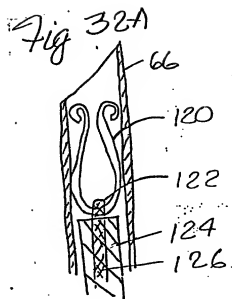
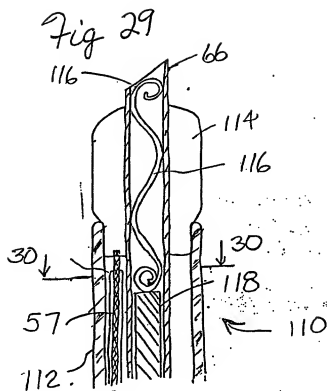


FIG. 26

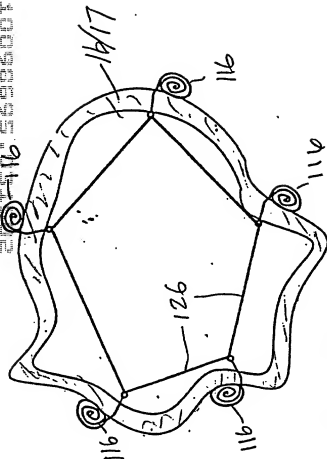


Fig. 31A

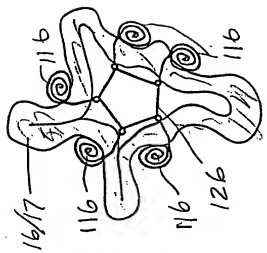


Fig. 31B

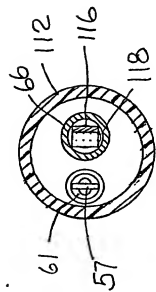


Fig. 30

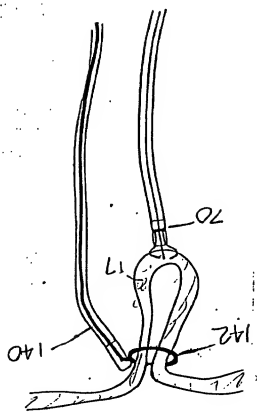


Fig. 26

